

SZAKDOLGOZAT

Mogyorósi Gábor

Pécs, 2012

Szakdolgozat

Mogyorósi Gábor

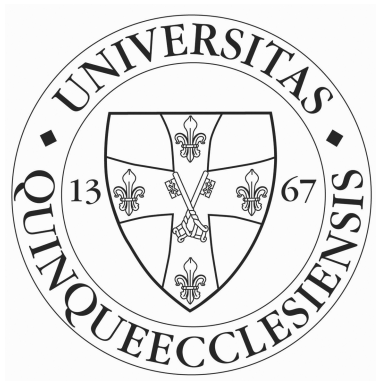
Kvantumállapotok megkülönböztetése

Témavezető: **Dr. Ádám Péter**

A fizikai tudomány kandidátusa

MTA Wigner Fizikai Kutatóközpont

Pécsi Tudományegyetem, Fizikai Intézet



Pécsi Tudományegyetem

Pécs, 2012

Tartalomjegyzék

| | |
|--|-----------|
| Bevezetés | 4 |
| 1. Alapismeretek | 5 |
| 1.1. A sűrűségoperátor | 5 |
| 1.2. A kvantummechanikai mérés | 6 |
| 2. Kvantumállapotok megkülönböztetése | 8 |
| 2.1. Minimális hibájú módszer | 10 |
| 2.1.1. A Helstrom-formula | 11 |
| 2.1.2. Megoldható speciális esetek áttekintése | 15 |
| 2.2. Egyértelmű módszer | 16 |
| 2.3. Maximális konfidenciájú módszer | 21 |
| 3. A Helstrom-formula levezetése | 24 |
| Irodalomjegyzék | 28 |

Bevezetés

A kvantuminformatika (amely a XX. század végén született meg) a fizika és az informatika azon határterülete, melynek célja, hogy az informatikai feladatok megoldását megfelelő kvantummechanikai rendszerek fizikai állapotában bekövetkezett változásból olvassa ki. A kvantuminformatika a kvantuminformáció-elmélet eredményeire épül. Ez az elmélet a klasszikus információelméletnek egy kvantummechanikai eszközöket alkalmazó általánosítása, amelyben két fogalom, az *összefonódottság* és a *kvantummechanikai mérés* alapvető szerepet játszik. A kvantummechanikai mérés során egy fizikai mennyiség lehetséges értékeit kapjuk, és nem a rendszer állapotát határozzuk meg. Így a kvantum-informatika alaprendszerében a qubit állapotában hordozott információt, amely elvileg végtelenszer nagyobb a klasszikus bitben tárolténál, nem lehet tökéletesen kinyerni. Ezt a problémát részben kikerülhetjük, ha feltesszük, hogy a mérni kívánt qubit csak bizonyos ismert kvantumállapotokban lehet rögzített valószínűségekkel. Így juthatunk el az elmúlt évtizedben intenzíven vizsgált témakörhöz, a kvantumállapotok megkülönböztetésének problémájához. A kvantummechanikában csak ortogonális állapotokat lehet megkülönböztetni viszonylag egyszerűen, nem ortogonális állapotokat pedig 100%-osan lehetetlen. Ezért különböző stratégiákat dolgoztak ki, melyek abban különböznek, hogy milyen kritériumokat várunk el a mérés során. Így például megkövetelhetjük, hogy ne tévedjünk, ekkor jutunk el az egyértelmű módszerhez, amelynél olyan mérési eredményeket is kapunk, amikor nem tudunk semmit mondani a rendszer állapotáról. Ekkor megengedjük, hogy hibázzunk a mérés során, de elvárjuk, hogy minimális legyen a mérési hiba. Ez a minimális hibájú módszer.

A szakdolgozat célja bemutatni a kvantumállapotok méréssel történő megkülönböztetésének különböző stratégiáit, így a minimális hibájú, az egyértelmű és a maximális konfidenciájú módszert. A szakirodalom feldolgozására épülő összefoglalás mellett saját munkaként a minimális hibájú módszer elméletében fontos szerepet játszó Helstrom-formulát vezetem le részletesen. Az ismertetett módszerek egy lehetséges általánosítása azt a kérdést teszi fel, hogy milyen mérési elrendezéssel kapunk maximális információt egy kvantumrendszerben. Erről a problémáról Nagy Alexandra szakdolgozatában tájékozódhat [1].

1. fejezet

Alapismeretek

A dolgozatban feltételezzük, hogy az olvasó a kvantummechanikai és kvantuminformaticai alapfogalmakat ismeri. A dolgozat követéséhez szükséges, és az egyetemi tanulmányokban nem szereplő néhány fogalmat ebben a fejezetben ismertetünk.

1.1. A sűrűségoperátor

A *kvantumállapot* bármely olyan állapot, amelyben egy kvantummechanikai rendszer lehet. Egy teljesen meghatározott kvantumállapotot egy $|\psi\rangle$ állapotvektorral, vagy szokásos nevén egy *tiszta állapottal* jellemezhetjük, amely természetesen megadható különböző reprezentációval is, így például hullámfüggvénnyel vagy egy adott ortonormált bázisban a kifejtési együtthatók vektorával. Általában azonban a kvantummechanikai rendszer kölcsönhat környezetével vagy előfordulhat, hogy valamely okból a rendszer állapotáról csak azt tudjuk, hogy $|\psi_1\rangle, |\psi_2\rangle, \dots, |\psi_n\rangle$ állapotok valamelyikében p_1, p_2, \dots, p_n valószínűségekkel fordul elő. Ekkor a rendszer állapota nem írható le egyértelműen egy állapotvektorral, hanem azt mondjuk, hogy a rendszer kevert állapotban van. A kevert állapotok, illetve a kvantumrendszerek állapotának általános leírására a *sűrűségoperátor* használható, amely a következő alakban írható fel:

$$\hat{\rho} = \sum_k p_k |\psi_k\rangle \langle \psi_k|, \quad (1.1)$$

ahol $p_k \geq 0$ és $\sum_k p_k = 1$. Ha a rendszer állapotát a $|\psi\rangle$ tiszta állapottal írjuk le, akkor ebben az esetben a sűrűségoperátor:

$$\hat{\rho} = |\psi\rangle \langle \psi| \quad (1.2)$$

egy projektor a $|\psi\rangle$ állapotvektorra.

A sűrűségoperátor segítségével egy tetszőleges \hat{A} operátor átlagértéke a következő módon számolható ki:

$$\langle \hat{A} \rangle = \text{Tr} (\hat{\rho} \hat{A}). \quad (1.3)$$

A sűrűségoperátor minden szükséges információt tartalmaz a mérés kimenetelét leíró valószínűség-eloszlás meghatározásához.

A sűrűségoperátor felfogható a \mathcal{H} Hilbert-téren ható *statisztikai operátorként* is, melynek tulajdonságai a következők:

1. $\hat{\varrho}$ hermitikus operátor, azaz $\hat{\varrho}^\dagger = \hat{\varrho}$, és \forall k-ra $p_k \in \mathbb{R}$,
2. $\text{Tr}(\hat{\varrho}) = 1$,
3. $\hat{\varrho} \geq 0$ pozitív szemidefinit operátor, mivel \forall k-ra $p_k \geq 0$,
4. $\hat{\varrho}$ sűrűségoperátor ϱ_i sajátértékeire igaz, hogy $0 \leq \varrho_i \leq 1$,
5. tiszta állapotra igaz, hogy $\hat{\varrho}^2 = \hat{\varrho}$.

Az (1.3) egyenletben megjelenő Trace (nyom) műveletet a dolgozatban többször használjuk, ezért ennek tulajdonságait kell összefoglalni. Egy adott mátrix nyoma a mátrix diagonális (főátlóbeli) elemeinek az összegét jelenti. Érdekes megjegyezni, hogy egy adott operátorhoz rendelt mátrix nyoma független a választott reprezentációtól. Az operátorok nyomára vonatkozólag egy fontos tulajdonság:

$$\begin{aligned}\text{Tr}(\hat{A}\hat{B}) &= \text{Tr}(\hat{B}\hat{A}), \\ \text{Tr}(\hat{A}\hat{B}\hat{C}) &= \text{Tr}(\hat{C}\hat{A}\hat{B}),\end{aligned}\tag{1.4}$$

azaz a Trace alatt lévő szorzatoperátorok ciklikusan átrendezhetők.

1.2. A kvantummechanikai mérés

A kvantummechanikában a mérhető fizikai mennyiségeket \mathcal{H} Hilbert-térbeli önadjungált, azaz hermitikus operátorokkal írjuk le. A mérés során az adott fizikai mennyiség sajátértékeit kaphatjuk eredményül. Az általánosított kvantummechanikai mérések elméletében a kvantum mérés leírható az $\{\hat{M}_m\}$ mérési operátorok halmazával. Az m index a mérési kimeneteket szimbolizálja. Ha a rendszer állapota a mérés előtt $|\psi\rangle$, akkor annak a valószínűsége, hogy m a mérés eredménye:

$$p(m) = \langle \psi | \hat{M}_m^\dagger \hat{M}_m | \psi \rangle,\tag{1.5}$$

ahol \hat{M}_m a mérési operátor. Mérés után a rendszer állapota:

$$|\psi_m\rangle = \frac{\hat{M}_m |\psi\rangle}{\sqrt{p(m)}} = \frac{\hat{M}_m |\psi\rangle}{\sqrt{\langle \psi | \hat{M}_m^\dagger \hat{M}_m | \psi \rangle}},\tag{1.6}$$

ahol $|\psi\rangle$ a rendszer állapota a mérés előtt, az \hat{M}_m mérési operátor pedig kielégíti a

$$\sum_m \hat{M}_m^\dagger \hat{M}_m = \hat{1}\tag{1.7}$$

teljességi egyenletet [2]. Az általános mérésnek egyik speciális esete az ún. *projektív mérés*. A projektív mérés leírható egy \hat{A} megfigyelhető hermitikus operátorral a rendszer állapotterében. Ennek a megfigyelhetőnek a spektrális felbontása:

$$\hat{A} = \sum_m m P_m, \quad (1.8)$$

ahol P_m egy projektor az \hat{A} sajátterében, és $\sum_m P_m = \hat{1}$, m pedig az \hat{A} sajátértéke. Ennek megfelelően a (1.5) egyenletben szereplő \hat{M}_m mérési operátornak ebben az esetben a P_m projektor felel meg. Ha a mérendő rendszer állapota $|\psi\rangle$, annak a valószínűsége, hogy m a mérés kimenete:

$$p(m) = \langle \psi | P_m | \psi \rangle. \quad (1.9)$$

Ebben a képletben kihasználtuk, hogy $P_m^2 = P_m$. Ekkor a rendszer állapota a mérés után:

$$|\psi_m\rangle = \frac{P_m |\psi\rangle}{\sqrt{p(m)}} = \frac{P_m |\psi\rangle}{\sqrt{\langle \psi | P_m | \psi \rangle}}. \quad (1.10)$$

A kvantumállapot mérésnek legáltalánosabb fajtája a *pozitív operátor értékű mérték*, vagy röviden *POVM* (Positive Operator Valued Measure). Tegyük fel, hogy

$$\hat{\Pi}_m = \hat{M}_m^\dagger \hat{M}_m, \quad (1.11)$$

ahol $\hat{\Pi}_m$ pozitív operátor, amely szintén kielégíti a teljességi egyenletet, azaz

$$\sum_{m=1}^n \hat{\Pi}_m = \hat{1}. \quad (1.12)$$

Ennek alapján annak a valószínűsége, hogy m a mérés eredménye:

$$p(m) = \langle \psi | \hat{\Pi}_m | \psi \rangle. \quad (1.13)$$

Így a $\hat{\Pi}_m$ operátorok halmaza elegendő a különböző mérési kimenetek valószínűségének megállapításához. A teljes $\{\hat{\Pi}_m\}$ hermitikus pozitív szemidefinit operátorok halmazát nevezzük POVM-nek. Hasonló formula írható fel a projektív mérési operátorok esetére is:

$$\sum_{m=1}^N P_m = \hat{1}_{\mathcal{H}}. \quad (1.14)$$

Egy fontos különbség, hogy a POVM elemei nem feltétlenül ortogonálisak, aminek az a következménye, hogy a POVM elemeinek száma (n) nagyobb lehet, mint a Hilbert-tér dimenziója (N).

2. fejezet

Kvantumállapotok megkülönböztetése

A kvantuminformatikában az információ a kvantumrendszerek állapotába van kódolva, de ez az állapot nem figyelhető meg a kvantummechanikában. Így egy alapvető probléma merül fel, mert az információ feldolgozása után az információt ki kellene olvasni, vagyis a rendszer állapotát kellene meghatározni. Amikor a kimeneti állapotok ortogonálisak, akkor ez egy viszonylag egyszerű feladat, ha a lehetséges állapot halmazok meghatározottak. De amikor a kimeneti állapotok nem ortogonálisak, akkor ezeket az állapotokat teljes egészében nem lehet megkülönböztetni. A nem ortogonális állapotok közötti megkülönböztetési probléma mindenütt jelen van a kvantuminformatikai rendszerekben és eljárásokban.

Ezt a problémát először Carl W. Helstrom [4] és Alexander S. Holevo [5] vetette fel. A nem ortogonális kvantumállapotok használatát a kvantumkommunikációs rendszerekben illetve kvantumkriptográfiai protollokban Charles H. Bennett [6] javasolta, amely lendületet adott a megkülönböztetéssel kapcsolatos kutatásoknak. A kutatások az elmúlt évtizedben felgyorsultak, és több jelentős eredmény született. Ezek a kutatások napjainkban is folytatódnak.

Mivel nem ortogonális kvantumállapotokat nem lehet teljes bizonyossággal megkülönböztetni, ezért különböző kritériumokat kell megfogalmaznunk, amelyet egy optimális méréstől elvárunk. Napjainkig a kritériumoktól függően több különböző stratégiát dolgoztak ki alacsony dimenziós kvantuminformatikai rendszerekre. Az első a minimális hibájú megkülönböztetés, amely a legrégebbi is egyben. Ez Helstrom [4] nevéhez fűződik. A második az egyértelmű megkülönböztetés, amelyet először Igor D. Ivanovic [8] javasolt, majd Dennis Dieks [9] és Asher Peres [10] oldotta meg $N = 2$ tiszta kvantumállapotra. Ezt néha IDP-stratégiának is nevezik. A harmadik stratégia a maximális konfidenciájú megkülönböztetés, amelyet Sarah Croke és munkatársai [11] vezettek be a közelmúltban. Ezeket a stratégiákat a következő alfejezetekben tárgyaljuk részletesen. A témakör feldolgozásához Bergou János, Ulrike Herzog és Mark Hillery összefoglaló tanulmányát, illetve az adott stratégiákat felvető és elemző eredeti publikációkat használtuk fel [3].

A nem ortogonális állapotok nem különböztethetők meg, ezt a következő módon láthatjuk be. Tegyük fel, hogy adott két *mérési operátor*, $\hat{\Pi}_1$ és $\hat{\Pi}_2$, amelyek nem feltétlenül projektorok. Ezek együttesen kifeszítik a két qubit állapot Hilbert-terét, és ennek értelmében felírhatjuk a

$$\hat{\Pi}_1 + \hat{\Pi}_2 = \hat{\mathbb{1}}, \quad (2.1)$$

kapcsolatot. Így ezek egy POVM elemei. A tökéletes megkülönböztetés érdekében elvárhatjuk azt a feltételt, hogy

$$\hat{\Pi}_1|\psi_2\rangle = 0, \quad \hat{\Pi}_2|\psi_1\rangle = 0, \quad (2.2)$$

mely azt jelenti, hogy az első detektor soha nem tudja beazonosítani a második állapotot, a második detektor pedig az első állapotot. Viszont azonosítható egy jel az első detektoron az első állapottal, illetve egy másik jel a második detektoron a második állapottal. Az első illetve második állapot sikeres azonosításának a valószínűsége:

$$\begin{aligned} p_1 &= \langle\psi_1|\hat{\Pi}_1|\psi_1\rangle, \\ p_2 &= \langle\psi_2|\hat{\Pi}_2|\psi_2\rangle. \end{aligned} \quad (2.3)$$

Ha megszorozzuk a (2.1) egyenletet $\langle\psi_1|$ bra-val balról és $|\psi_1\rangle$ ket-tel jobbról, akkor azt kapjuk, hogy

$$\langle\psi_1|\hat{\Pi}_1|\psi_1\rangle + \langle\psi_1|\hat{\Pi}_2|\psi_1\rangle = \langle\psi_1|\psi_1\rangle = 1. \quad (2.4)$$

Figyelembe véve a (2.2) kritériumot, azt kapjuk eredményül, hogy

$$\langle\psi_1|\hat{\Pi}_1|\psi_1\rangle \equiv p_1 = \langle\psi_1|\psi_1\rangle = 1. \quad (2.5)$$

Hasonló eljárással - $|\psi_2\rangle$ esetében - megkapjuk, hogy

$$\langle\psi_2|\hat{\Pi}_2|\psi_2\rangle \equiv p_2 = \langle\psi_2|\psi_2\rangle = 1, \quad (2.6)$$

vagyis úgy tűnik, mintha tökéletes megkülönböztetés lenne. Viszont ha a (2.1) egyenletet megszorozzuk $\langle\psi_1|$ -val balról és $|\psi_2\rangle$ -tel jobbról, figyelembe véve ismét a (2.2) kritériumot, azt kapjuk, hogy

$$\langle\psi_1|\hat{\Pi}_1|\psi_2\rangle + \langle\psi_1|\hat{\Pi}_2|\psi_2\rangle = \langle\psi_1|\psi_2\rangle = 0, \quad (2.7)$$

amelyek csak ortogonális állapotokra kéne teljesülni, emellett $|\psi_1\rangle$ és $|\psi_2\rangle$ állapotok általában nem ortogonálisak, azaz $\langle\psi_1|\psi_2\rangle \neq 0$, de lineárisan függetlenek. Így ellentmondáshoz jutottunk, és bebizonyosodott a nem ortogonális állapotok közötti megkülönböztetés lehetetlensége.

2.1. Minimális hibájú módszer

A minimális megkülönböztetés célja, hogy keressünk olyan mérési elrendezést, amely-nél minden mérési eredménynél jóslást teszünk arra, hogy milyen állapotot mértünk. Az előzőekben elmondottak szerint nem ortogonális állapotok esetén hibázhatunk. A mérési elrendezést úgy optimalizáljuk, hogy a hiba minimális legyen.

Az általános feladat során feltesszük, hogy a mérendő D_S dimenziós kvantumrendszer N különböző állapotban ($N \geq 2$) lehet, és a j -edik állapot η_j valószínűséggel fordul elő, amelyre $\sum_{j=1}^N \eta_j = 1$. A mérés leírható egy POVM segítségével, amely értelemszerűen N mérési operátorból áll, és a j -edik állapotot azonosítja. Azaz, ha a j -edik detektor jelez, akkor azt mondom, hogy a j -edik állapotban volt a rendszer. Ha feltesszük, hogy a rendszer $\hat{\rho}$ állapotban lett preparálva, annak valószínűsége, hogy arra következtetünk, hogy a rendszer állapota $\hat{\rho}_j$:

$$P_{\hat{\rho}_j} = \text{Tr}(\hat{\rho} \hat{\Pi}_j). \quad (2.8)$$

Ezek a feltételek a következő összefüggéseket eredményezik:

$$\sum_{j=1}^N \hat{\Pi}_j = \hat{\mathbb{1}}_{D_S}, \quad (2.9)$$

ahol $\hat{\mathbb{1}}_{D_S}$ az egység operátor a D_S dimenziójú állapottérben [3]. A mérés során annak a valószínűsége, hogy hibás eredményt kapunk, a következő összefüggés írja le:

$$P_{\text{err}} = 1 - P_{\text{corr}} = 1 - \sum_{j=1}^N \eta_j \text{Tr}(\hat{\rho}_j \hat{\Pi}_j), \quad (2.10)$$

ahol $\sum_j \eta_j = 1$. Itt bevezettünk egy P_{corr} valószínűséget, amely a helyes becslést jelöli. Annak érdekében, hogy meg lehessen találni a minimális hibájú stratégiát, meg kell határozni a POVM-t, hogy minimalizálni lehessen P_{err} értékét a (2.9) egyenlet alapján. A hiba-minimalizálási problémának az explicit megoldása nem triviális, és az analitikus kifejezések is csak speciális esetekből származtathatók.

Abban a speciális esetben, amikor csak két állapot adott, ahol az egyik a kettő közül tiszta a másik kevert állapot, a minimális hiba valószínűségét Helstrom a 70'-es évek közepén vezette le [4]. A következő alfejezetben az ő eredményét fogom ismertetni.

2.1.1. A Helstrom-formula

Induljunk ki (2.10) egyenletből, és feltesszük, hogy két állapotot különböztetünk meg, azaz $N = 2$. Így $\eta_1 + \eta_2 = 1$ és $\hat{\Pi}_1 + \hat{\Pi}_2 = \hat{\mathbb{1}}_{D_S}$. Annak a valószínűsége, hogy a mérés során hibás eredményt kapunk [3, 7, 12]:

$$P_{\text{err}} = 1 - \sum_{j=1}^2 \eta_j \text{Tr}(\hat{\rho}_j \hat{\Pi}_j) = \eta_1 \text{Tr}(\hat{\rho}_1 \hat{\Pi}_2) + \eta_2 \text{Tr}(\hat{\rho}_2 \hat{\Pi}_1). \quad (2.11)$$

Ezt kifejezhetjük a következő módon is:

$$P_{\text{err}} = \eta_1 + \text{Tr}(\hat{\Lambda} \hat{\Pi}_1) = \eta_2 - \text{Tr}(\hat{\Lambda} \hat{\Pi}_2), \quad (2.12)$$

ahol bevezettük a $\hat{\Lambda}$ hermitikus operátort, melyet a következőképpen írhatunk fel:

$$\hat{\Lambda} = \eta_2 \hat{\rho}_2 - \eta_1 \hat{\rho}_1 = \sum_{k=1}^{D_S} \lambda_k |\phi_k\rangle \langle \phi_k|. \quad (2.13)$$

Itt $|\phi_k\rangle$ a $\hat{\Lambda}$ operátor sajátvektora, λ_k pedig a $\hat{\Lambda}$ operátor sajátértékei. A jobb oldalon lévő kifejezés a Λ operátor spektrális vagy projektor felbontása. A λ_k sajátértékek valós számok, és az általánosság elvesztése nélkül a következő módon számozhatók meg:

$$\begin{aligned} \lambda_k < 0 & \quad \text{ha} \quad 1 \leq k < k_0, \\ \lambda_k > 0 & \quad \text{ha} \quad k_0 \leq k \leq D, \\ \lambda_k = 0 & \quad \text{ha} \quad D < k \leq D_S. \end{aligned}$$

A $\hat{\Lambda}$ operátor spektrális felbontásának alkalmazásával a P_{err} reprezentációja [13]:

$$P_{\text{err}} = \eta_1 + \sum_{k=1}^{D_S} \lambda_k \langle \phi_k | \hat{\Pi}_1 | \phi_k \rangle = \eta_2 - \sum_{k=1}^{D_S} \lambda_k \langle \phi_k | \hat{\Pi}_2 | \phi_k \rangle. \quad (2.14)$$

A következőkben meghatározzuk a $\hat{\Pi}_1$ és $\hat{\Pi}_2$ mérési operátorokat úgy, hogy minimalizáljuk a (2.14) egyenlet jobb oldalát a következő feltétel mellett:

$$0 \leq \langle \phi_k | \hat{\Pi}_j | \phi_k \rangle \leq 1, \quad (j = 1, 2) \quad (2.15)$$

Ebből a feltételből, és a (2.14) egyenletből az következik, hogy a minimális mérési hiba valószínűsége érhető el, ha úgy választjuk a mérési operátorokat, hogy a $\langle \phi_k | \hat{\Pi}_1 | \phi_k \rangle = 1$ és $\langle \phi_k | \hat{\Pi}_2 | \phi_k \rangle = 0$ egyenletek a negatív sajátértékekre teljesülnek, míg a pozitív sajátértékekre a $\langle \phi_k | \hat{\Pi}_1 | \phi_k \rangle = 0$ és $\langle \phi_k | \hat{\Pi}_2 | \phi_k \rangle = 1$ egyenletek teljesülnek. Így a mérési operátorok a következőképpen írhatók fel:

$$\hat{\Pi}_1 = \sum_{k=1}^{k_0-1} |\phi_k\rangle \langle \phi_k|, \quad \hat{\Pi}_2 = \sum_{k=k_0}^D |\phi_k\rangle \langle \phi_k|, \quad (2.16)$$

ahol ezeket a kifejezéseket projekciós operátorokra kell kiegészíteni, a sajátállapotokhoz tartozó $\lambda_k = 0$ sajátértékekre úgy, hogy kielégítse a $\hat{\Pi}_1 + \hat{\Pi}_2 = \hat{\mathbb{1}}_{D_S}$ kapcsolatot. Amennyiben vannak pozitív, illetve negatív sajátértékek a $\hat{\Lambda}$ operátor spektrális felbontásában,

a minimális hibájú mérés két kvantumállapot megkülönböztetésére egy Neumann-mérés, amelyek egyrészt a $\{|\phi_1\rangle, \dots, |\phi_{k_0-1}\rangle\}$, másrészt a $\{|\phi_{k_0}\rangle, \dots, |\phi_{D_S}\rangle\}$ állapothalmazokra kifizített két ortogonális altérre vetített projekciókból állnak. Abban az esetben, amikor nincs negatív sajátérték, akkor $\hat{\Pi}_1 = 0$ és $\hat{\Pi}_2 = \hat{1}$, ami azt jelenti, hogy a minimális hiba valószínűsége érhető el a $\hat{\rho}_2$ állapotra. Hasonló megfontolások igazak a pozitív sajátértékekre nézve.

Ha a (2.16) egyenletben szereplő mérési operátorokat behelyettesítjük a (2.14) egyenletbe, akkor a minimális hiba valószínűsége [13]:

$$P_{\text{err}} = \eta_1 - \sum_{k=1}^{k_0-1} |\lambda_k| = \eta_2 - \sum_{k=k_0}^D |\lambda_k|. \quad (2.17)$$

A két alternatív reprezentáció összegének segítségével, és az $\eta_1 + \eta_2 = 1$ felhasználásával azt kapjuk, hogy

$$P_{\text{err}} = \frac{1}{2} \left(1 - \sum_k |\lambda_k| \right) = \frac{1}{2} \left(1 - \text{Tr}(|\hat{\Lambda}|) \right), \quad (2.18)$$

ahol $|\hat{\Lambda}| = \sqrt{\hat{\Lambda}^\dagger \hat{\Lambda}}$, vagy $\|\hat{\Lambda}\| = \text{Tr}(\sqrt{\hat{\Lambda}^\dagger \hat{\Lambda}})$. A (2.10) egyenlettel együtt megkaptuk a Helstrom-formulát [4], amely megadja a minimális hiba valószínűségét $\hat{\rho}_1$ és $\hat{\rho}_2$ állapot megkülönböztetése során:

$$P_{\text{err}} = \frac{1}{2} (1 - \text{Tr}(|\eta_2 \hat{\rho}_2 - \eta_1 \hat{\rho}_1|)) = \frac{1}{2} (1 - \|\eta_2 \hat{\rho}_2 - \eta_1 \hat{\rho}_1\|). \quad (2.19)$$

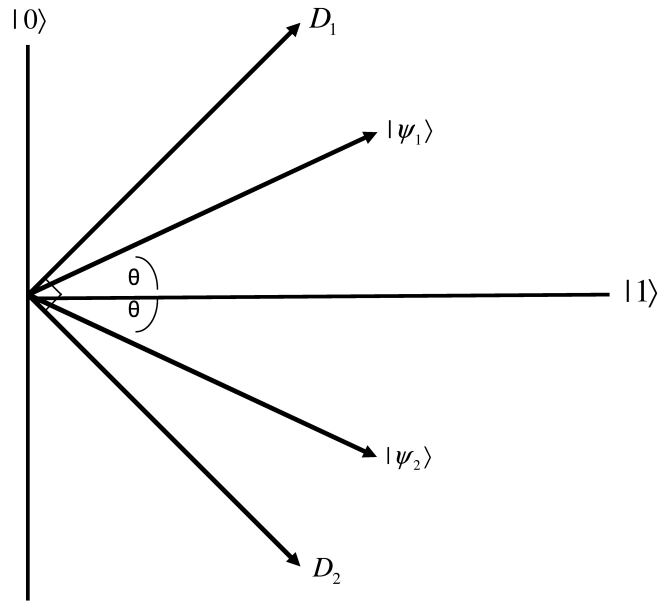
Abban a speciális esetben, ha $|\psi_1\rangle$ és $|\psi_2\rangle$ tiszta állapotokat kell megkülönböztetni, akkor ezt a kifejezést a következőképpen írhatjuk fel [3, 4]:

$$P_{\text{err}} = \frac{1}{2} \left(1 - \sqrt{1 - 4\eta_1 \eta_2 |\langle \psi_1 | \psi_2 \rangle|^2} \right). \quad (2.20)$$

A detektorok optimális elrendezése, amellyel a minimális hiba valószínűsége érhető el, a 2.1. ábrán látható. Az optimális elrendezéshez a detektorokat szimmetrikusan kell elhelyezni.

Kidolgoztak egy olyan formulát, ahol bevezettek egy η_{\min} és egy η_{\max} mennyiséget, ami az η_1 és η_2 legkisebb illetve legnagyobb *a priori* valószínűségeit jelöli. Ez a formula a következőképpen néz ki [7]:

$$\begin{aligned} P_{\text{err}} &= \eta_{\min} \left(1 - \frac{2\eta_{\max}(1 - |\langle \psi_1 | \psi_2 \rangle|^2)}{\eta_{\max} - \eta_{\min} + \sqrt{1 - 4\eta_{\min}\eta_{\max}|\langle \psi_1 | \psi_2 \rangle|^2}} \right) \\ &= \eta_{\min} \left(1 - \frac{1}{2} \frac{\eta_{\max}}{\eta_{\max} - \eta_{\min} + \sqrt{1 - \eta_{\min}\eta_{\max}}} \right). \end{aligned} \quad (2.21)$$



2.1. ábra. Detektor konfiguráció két tiszta állapot minimális hibájú megkülönböztetésére, egyenlő *a priori* valószínűséggel. Ez egy Neumann-mérés két ortogonális detektorral, amelynél a detektorokat szimmetrikusan kell elhelyezni az optimális eljárás érdekében.

Nézzük meg azt a speciális esetet, ahol a két állapot közül az egyik tiszta állapot másik pedig kevert állapot! A cél az, hogy a két kvantumállapotot megkülönböztessük. Ezt az esetet Ulrike Herzog vetette fel saját cikkében [13]. Tehát adott két kvantumállapot:

$$\hat{\rho}_1 = |\psi\rangle\langle\psi|, \quad \hat{\rho}_2 = \frac{1}{d} \sum_{j=1}^d |u_j\rangle\langle u_j| = \frac{1}{d} \hat{\mathbb{1}}_d, \quad (2.22)$$

ahol $\hat{\rho}_1$ tiszta állapot, $\hat{\rho}_2$ kevert állapot, az $|u_j\rangle$ állapotok ortonormáltak, azaz $\langle u_i | u_j \rangle = \delta_{ij}$, és $d \leq D_S$. Ebben a speciális esetben $d = D_S$, a $\hat{\rho}_2$ teljesen kevert állapot lesz, ami egy teljesen véletlenszerű rendszer állapotát írja le, és nem tartalmazza az összes információt.

A reprezentáció egyszerűsítésére a következő speciális eseteket fogjuk felhasználni. Tiszta állapotra az *a priori* valószínűség:

$$\eta_1 = \frac{1}{d+1}, \quad (2.23)$$

kevert állapotra az *a priori* valószínűség:

$$\eta_2 = \frac{d}{d+1}. \quad (2.24)$$

A két valószínűséget, illetve a két kvantumállapot összefüggéseit felhasználva, a Λ operátorra a következőt kapjuk:

$$\hat{\Lambda} = \frac{1}{d+1} \left(\sum_{j=1}^d |u_j\rangle\langle u_j| - |\psi\rangle\langle\psi| \right). \quad (2.25)$$

A következőkben Herzog sajátértékszámításait fogjuk megvizsgálni. Ahhoz, hogy kezelni tudjuk a következő sajátérték egyenletet, azaz

$$\hat{F}(\lambda) = \lambda(d+1)\hat{\mathbb{1}}_{d+1} + |\psi\rangle\langle\psi| - \sum_{j=1}^d |u_j\rangle\langle u_j| = 0, \quad (2.26)$$

annak érdekében be kell vezetni az $|u_0\rangle$ és $|u_1\rangle$ ortogonális és normalizált bázisvektorokat úgy, hogy teljesítse az alábbi összefüggést:

$$|\psi\rangle = |u_0\rangle\sqrt{1 - ||\psi^\parallel||^2} + |\psi^\parallel\rangle, \quad (2.27)$$

ahol $|\psi^\parallel\rangle$ a $|\psi\rangle$ komponense, amely az $|u_1\rangle, \dots, |u_d\rangle$ állapotokra kifeszített \mathcal{H}_d Hilbert-altérben található, azaz

$$||\psi^\parallel||^2 = \langle\psi^\parallel|\psi^\parallel\rangle = \sum_{j=1}^d |\langle u_j|\psi\rangle|^2. \quad (2.28)$$

A $\{|\psi\rangle, |u_1\rangle, \dots, |u_d\rangle\}$ állapotok halmazára kifeszített teljes Hilbert-tér d -dimenziójú, ha $||\psi^\parallel|| = 1$, és $(d+1)$ -dimenziójú, ha $||\psi^\parallel|| < 1$.

Mivel $\hat{\mathbb{1}}_d = \sum_{j=1}^d |u_j\rangle\langle u_j|$ és $\hat{\mathbb{1}}_{d+1} = \hat{\mathbb{1}}_d + |u_0\rangle\langle u_0|$, így a λ sajátértékek az alábbi egyenletet fogják teljesíteni:

$$\det(\hat{F}) = \det(\hat{F}_1) + \det(\hat{F}_2) = 0, \quad (2.29)$$

ahol

$$\hat{F}_1(\lambda) = |\psi^\parallel\rangle\langle\psi^\parallel| + [(d+1)\lambda - 1]\hat{\mathbb{1}}_d, \quad (2.30)$$

$$\hat{F}_2(\lambda) = |\psi\rangle\langle\psi| + [(d+1)\lambda - 1]\hat{\mathbb{1}}_{d+1}.$$

Most reprezentációkat fogunk felírni $\hat{\mathbb{1}}_d$ -re és $\hat{\mathbb{1}}_{d+1}$ -re, ezek a következők lesznek:

$$\begin{aligned} \hat{\mathbb{1}}_d &= \frac{|\psi^\parallel\rangle\langle\psi^\parallel|}{||\psi^\parallel||^2} + \sum_{j=1}^{d-1} |\tilde{u}_j\rangle\langle\tilde{u}_j|, \\ \hat{\mathbb{1}}_{d+1} &= |\psi\rangle\langle\psi| + \sum_{j=1}^{d-1} |\tilde{v}_j\rangle\langle\tilde{v}_j|, \end{aligned} \quad (2.31)$$

ahol $\{|\tilde{u}_j\rangle\}$ és $\{|\tilde{v}_j\rangle\}$ új bázisvektorok, amelyeknél igaz, hogy $\langle\psi^\parallel|\tilde{u}_j\rangle = 0$ és $\langle\psi|\tilde{v}_j\rangle = 0$. Ezeket összevetve a következő összefüggésekhez juthatunk:

$$\det(\hat{F}_1) = [||\psi^\parallel||^2 + (d+1)\lambda - 1][(d+1)\lambda - 1]^{d-1}, \quad (2.32)$$

$$\det(\hat{F}_2) = (d+1)\lambda[(d+1)\lambda - 1]^d.$$

Ha behelyettesítjük a (2.29) egyenletbe, akkor az alábbi sajátértékekhez juthatunk:

$$\begin{aligned} \lambda_1 &= -\frac{1}{d+1}\sqrt{1 - ||\psi^\parallel||^2}, \\ \lambda_2 &= -\lambda_1, \quad \lambda_k = \frac{1}{d+1} \quad (k = 3, \dots, d+1). \end{aligned} \quad (2.33)$$

A (2.19) egyenlet alkalmazásával a minimális hiba valószínűsége [3, 12, 13]:

$$P_{\text{err}} = \frac{1}{d+1} \left(1 - \sqrt{1 - \|\psi\|^2} \right). \quad (2.34)$$

Amikor a megkülönböztetett állapotok lineárisan függetlenek, azaz $\|\psi\| \neq 1$, akkor pontosan egy negatív sajátérték létezik, a λ_1 . Ezért a minimális hibájú mérés egy Neumann-mérésnek felel meg, ekkor a mérési operátorok $\hat{\Pi}_1 = |\phi_1\rangle\langle\phi_1|$ és $\hat{\Pi}_2 = \hat{1}_{D_S} - \hat{\Pi}_1$ lesznek, ahol $|\phi_1\rangle$ a λ_1 sajátértékhez tartozó sajátállapot. Ha pedig $\hat{\rho}_1$ és $\hat{\rho}_2$ lineárisan függenek, azaz $\|\psi\| = 1$, akkor nem létezik negatív sajátérték, emellett $\hat{\Pi}_2 = \hat{1}_{D_S}$, és ebben az esetben a minimális hiba valószínűsége:

$$P_{\text{err}} = \frac{1}{d+1}. \quad (2.35)$$

Ez megvalósítható olyan feltevessel, hogy a rendszer mindig a $\hat{\rho}_2$ állapotban van, bármennyi mérés végrehajtása nélkül.

2.1.2. Megoldható speciális esetek áttekintése

A következőkben megnézzünk egy olyan rövid áttekintést, amely összefoglalja azokat az eseteket, ahol az explicit analitikus kifejezések, és innen a minimális hiba valószínűségét meghatározták az implicit általános megoldásból. Azt az esetet, amely csak $N = 2$ állapotra adott, már megvizsgáltuk a Helstrom-formula című fejezetben. Amikor a két állapot tiszta, és azonos valószínűséggel fordul elő, a Helstrom-limit legáltalánosabb eredménye egy speciális eset lesz, hivatkozva a szimmetrikus tiszta állapotokra. Az utóbbi időben, Yonina C. Eldar [14], illetve Chou és Hsu [15] kaptak egy kifejezést az N állapotú megoldásra, mely állapotok szimmetrikusak és keverték. Néhány más esetben sikerült megoldani analitikusan is. Ezek közé tartozik az ún. lineárisan független állapotok osztályai, valamint a projektorok, amelyeket összegezve az egységet alkotják. Stephen Barnett [16] megtalálta a minimális hibájú stratégiát sokrészes szimmetrikus állapotokra, majd Erika Andersson és munkatársai [17] oldották meg a három tükörszimmetrikus állapot esetét.

Az analitikus megoldásokon kívül a minimális hibájú stratégiát már numerikusan is megvizsgálták. Miroslav Ježek és munkatársai [18] javasoltak egy algoritmust az optimális mérés megtalálására, alkalmazva a *semidefinit programozás* elméletét.

2.2. Egyértelmű módszer

Az egyértelmű stratégiát először Ivanovic vetette fel. Az egyértelmű módszerben az a célkitűzés, hogy ne hibázzunk a mérés során, azaz 100% valószínűséggel mondunk valamit a mérés után. Ennek az lesz a következménye, hogy ebben az esetben a mérés nem nyújt információt. A $|\psi_1\rangle$ és $|\psi_2\rangle$ állapotok (amelyeket megkülönböztetünk) nem ortogonálisak, azaz $\langle\psi_1|\psi_2\rangle \neq 0$. A (2.1) összefüggés csak két mérési operátorra vonatkozik, amely azt feltételezi, hogy a két mérési operátor mindig egyértelműen megállapítja a két kvantum-állapotot. Ez pedig lehetetlen, ezért módosítani kell az előbb említett egyenletet úgy, hogy bevezetjük a $\hat{\Pi}_0$ mérési operátort, ami szintén egy POVM eleme. Így az egyenlet a következő lesz:

$$\hat{\Pi}_1 + \hat{\Pi}_2 + \hat{\Pi}_0 = \hat{\mathbb{I}}, \quad (2.36)$$

ahol $\hat{\mathbb{I}}$ a \mathcal{H} Hilbert-tér egységoperátora. Az első és második POVM elem továbbra is egyértelműen beazonosítja az első, illetve a második állapotot. A harmadik POVM elem viszont mindkét állapotot be tudja azonosítani, így ez megfelel egy hibás mérési eredménynek. Hangsúlyozni kell, hogy ez a kimenet nem egy hiba, mivel az első állapotot soha nem lehet beazonosítani a másodikkal és fordítva, egyszerűen ez azt jelenti, hogy ebben az esetben semmilyen következtetést nem tudunk levonni.

A következőkben bevezetünk két valószínűséget. Az első azt állítja, hogy annak a valószínűsége, hogy $|\psi_1\rangle$ lesz a mérés kimenete:

$$p_1 = \langle\psi_1|\hat{\Pi}_1|\psi_1\rangle. \quad (2.37)$$

Ez lesz az ún. sikeres detektálási valószínűség. A másik azt állítja, hogy annak a valószínűsége, hogy nem a $|\psi_1\rangle$ állapot lesz a mérés kimenete:

$$q_1 = \langle\psi_1|\hat{\Pi}_0|\psi_1\rangle. \quad (2.38)$$

Ez lesz az ún. sikertelen azonosítás valószínűsége. Ezek az összefüggések hasonló módon írhatók fel $|\psi_2\rangle$ állapotra is. Egyértelmű megkülönböztetésre elvárjuk, hogy a következő egyenletek teljesüljenek:

$$\langle\psi_2|\hat{\Pi}_1|\psi_2\rangle = \langle\psi_1|\hat{\Pi}_2|\psi_1\rangle = 0, \quad (2.39)$$

a (2.2) egyenlet felhasználásával. Ha alkalmazzuk az előbb felírt egyenleteket, akkor a (2.36) összefüggésből megkapjuk, hogy

$$p_1 + q_1 = p_2 + q_2 = 1. \quad (2.40)$$

Ez azt jelenti, hogy ha megengedjük, hogy a hibás azonosítás eredménye egy bizonyos valószínűséggel forduljon elő, akkor a többi esetben a megfigyelő egyértelműen meg tudja határozni a rendszer állapotát.

A következőkben meghatározzuk a (2.36) egyenletben szereplő mérési operátorokat explicit módon. Induljunk ki az alábbi összefüggésből:

$$\hat{A}_k = \hat{U}_k \hat{\Pi}_k^{1/2} \quad (k = 0, 1, 2), \quad (2.41)$$

ahol \hat{U}_k egy unitér operátor. Ebből megkaphatjuk a mérési operátort:

$$\hat{\Pi}_k = \hat{A}_k^\dagger \hat{A}_k. \quad (2.42)$$

Ennek valószínűsége meghatározható úgy, hogy

$$\langle \psi_i | \hat{A}_k^\dagger \hat{A}_k | \psi_i \rangle = \|\hat{A}_k \psi_i\|^2 \geq 0. \quad (2.43)$$

A normának a pozitivitása miatt az egyértelmű megkülönböztetés egyenértékű az alábbi feltételekkel:

$$\hat{A}_1 |\psi_2\rangle = \hat{A}_2 |\psi_1\rangle = 0.$$

Ha bevezetjük a $|\psi_i^\perp\rangle$ vektort, amely a $|\psi_{i'}\rangle$ vektornak merőleges komponense (ahol $i \neq i'$), akkor az \hat{A}_k operátorokra felírhatjuk a következőket:

$$\begin{aligned} \hat{A}_1 &= c_1 |\psi_1\rangle \langle \psi_1^\perp|, \\ \hat{A}_2 &= c_2 |\psi_2\rangle \langle \psi_2^\perp|, \end{aligned} \quad (2.44)$$

ahol c_1 és c_2 komplex együtthatók. Ezeket alkalmazva a mérési operátorok a következő módon fognak alakulni:

$$\begin{aligned} \hat{\Pi}_1 &= \hat{A}_1^\dagger \hat{A}_1 = |c_1|^2 |\psi_1^\perp\rangle \langle \psi_1^\perp|, \\ \hat{\Pi}_2 &= \hat{A}_2^\dagger \hat{A}_2 = |c_2|^2 |\psi_2^\perp\rangle \langle \psi_2^\perp|. \end{aligned} \quad (2.45)$$

A komplex együtthatókat kifejezhetjük úgy, hogy

$$|c_1|^2 = \frac{p_1}{|\langle \psi_1 | \psi_1^\perp \rangle|^2}, \quad \text{és} \quad |c_2|^2 = \frac{p_2}{|\langle \psi_2 | \psi_2^\perp \rangle|^2}, \quad (2.46)$$

amelyeknél a nevező átírható szinuszfüggvény segítségével, azaz $\sin \theta = |\langle \psi_k | \psi_k^\perp \rangle|$. Ezek után a mérési operátorok:

$$\begin{aligned} \hat{\Pi}_1 &= \frac{p_1}{\sin^2 \theta} |\psi_1^\perp\rangle \langle \psi_1^\perp|, \\ \hat{\Pi}_2 &= \frac{p_2}{\sin^2 \theta} |\psi_2^\perp\rangle \langle \psi_2^\perp|. \end{aligned} \quad (2.47)$$

Ekkor $\hat{\Pi}_1$ és $\hat{\Pi}_2$ pozitív szemidefinit operátorok lesznek. Viszont van egy további feltétele a POVM-nek, amely a hibás mérési operátor pozitivitását eredményezi:

$$\hat{\Pi}_0 = \hat{\mathbb{1}} - \hat{\Pi}_1 - \hat{\Pi}_2. \quad (2.48)$$

Ez egy egyszerű 2×2 -es mátrix a \mathcal{H} Hilbert-térben, ennek sajátérték problémája analitikusan megoldható azzal a feltétellel, hogy

$$q_1 q_2 \geq |\langle \psi_1 | \psi_2 \rangle|^2, \quad (2.49)$$

ahol $q_1 = 1 - p_1$, és $q_2 = 1 - p_2$ a bemeneti állapotokra vonatkozó hibaválósínűségek.

A következő feladat meghatározni az egyértelmű stratégia két fontos valószínűségét, vagyis a hibás mérés, illetve a sikeres mérés valószínűségeit. Először jelöljük Q -val a hibás mérés valószínűségét, amely így írható fel:

$$Q = \eta_1 q_1 + \eta_2 q_2. \quad (2.50)$$

Ezt kell minimalizálni a (2.49) feltétellel. Ezután P -vel fogjuk jelölni a sikeres mérés valószínűségét, ez pedig így írható fel:

$$P = \eta_1 p_1 + \eta_2 p_2 = 1 - Q. \quad (2.51)$$

Egyértelmű, hogy ha Q minimális, akkor P maximális lesz. Világos, hogy a $q_1 q_2$ szorzatnak minimálisnak kell lennie a (2.49) szerint, és q_2 -t kifejezhetjük q_1 segítségével, azaz

$$q_2 = \frac{\cos^2 \theta}{q_1}, \quad (2.52)$$

ahol $\cos \theta \equiv |\langle \psi_1 | \psi_2 \rangle|$. Ezt felhasználva a Q valószínűség:

$$Q = \eta_1 q_1 + \eta_2 \frac{\cos^2 \theta}{q_1}, \quad (2.53)$$

ahol q_1 -t most a probléma független paraméterének tekintjük. A Q valószínűség optimalizálásához a következő egyenletek szükségesek:

$$\begin{aligned} q_1^{\text{POVM}} &= \sqrt{\eta_2 / \eta_1} \cos \theta, \\ q_2^{\text{POVM}} &= \sqrt{\eta_1 / \eta_2} \cos \theta. \end{aligned} \quad (2.54)$$

Ezeket behelyettesítve a (2.50) egyenletbe:

$$Q^{\text{POVM}} = 2\sqrt{\eta_1 \eta_2} \cos \theta. \quad (2.55)$$

Ez az optimális hibavalószínűség. Ha azt a speciális esetet nézzük, hogy $\eta_1 = \eta_2 = \frac{1}{2}$, akkor megkapjuk az ún. *Ivanovic-Dieks-Peres (IDP) limitet*:

$$\boxed{P_{\text{IDP}} = 1 - Q_{\text{IDP}} = 1 - |\langle \psi_1 | \psi_2 \rangle|}. \quad (2.56)$$

A következőkben azt vizsgáljuk meg, hogyan hasonlítható össze a Neumann-mérés a hibás mérés valószínűségével. Az első Neumann-mérés Q_1 valószínűsége:

$$Q_1 = \eta_1 + \eta_2 |\langle \psi_1 | \psi_2 \rangle|^2. \quad (2.57)$$

Ez azt jelenti, hogy a $|\psi_1\rangle$ állapot 100% valószínűséggel adott jelet $|\psi_2\rangle$ pedig $|\langle \psi_1 | \psi_2 \rangle|^2$ valószínűséggel. Ez igaz $|\psi_2\rangle$ -re is, így a második Neumann-mérés Q_2 valószínűsége:

$$Q_2 = \eta_1 |\langle \psi_1 | \psi_2 \rangle|^2 + \eta_2. \quad (2.58)$$

Összefoglalóként áttekintjük, hogy milyen feltételek mellett lehet optimalizálni a hibás mérés valószínűségét. Ezt a hibaválasztási valószínűséget Q^{opt} -nak fogjuk jelölni.

$$Q^{\text{opt}} = \begin{cases} Q^{\text{POVM}} & \text{ha} \quad \frac{\cos^2 \theta}{1 + \cos^2 \theta} \leq \eta_1 \leq \frac{1}{1 + \cos^2 \theta}, \\ Q_1 & \text{ha} \quad \eta_1 < \frac{\cos^2 \theta}{1 + \cos^2 \theta}, \\ Q_2 & \text{ha} \quad \eta_1 > \frac{\cos^2 \theta}{1 + \cos^2 \theta}. \end{cases} \quad (2.59)$$

A mérési operátorok végleges alakjai a következők lesznek:

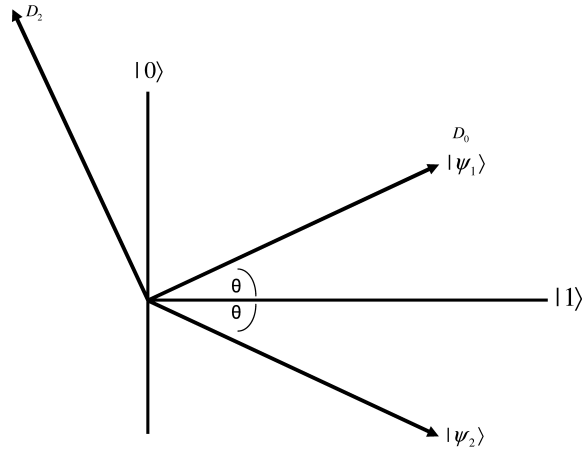
$$\begin{aligned} \hat{\Pi}_1 &= \frac{1 - q_1^{\text{opt}}}{\sin^2 \theta} |\psi_1^\perp\rangle \langle \psi_1^\perp|, \\ \hat{\Pi}_2 &= \frac{1 - q_2^{\text{opt}}}{\sin^2 \theta} |\psi_2^\perp\rangle \langle \psi_2^\perp|. \end{aligned} \quad (2.60)$$

A megfelelő detektor elrendezések Q_1 -re, Q_2 -re és Q^{POVM} -re a következő oldalon tekinthetők meg.

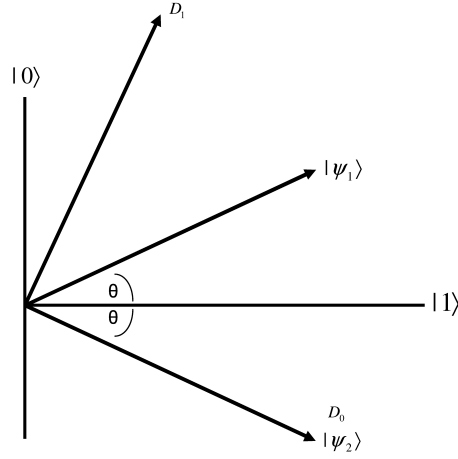
Ebben a fejezetben az egyértelmű stratégiát vizsgáltuk két tiszta állapot esetében. Több speciális esetet is megvizsgáltak már, például a „*Két kevert állapot közötti megkülönböztetés*” [20, 21, 22], vagy az „*Optimális egyértelmű megkülönböztetés több mint két állapot között*”, ami az utóbbira hivatkozva még részben nyitott probléma. Van viszont egy olyan fontos eredmény, ami Anthony Chefles nevéhez fűződik, aki megmutatta, hogy az „*egyértelmű megkülönböztetés akkor is lehetséges, ha az állapotok lineárisan függetlenek*” [19]. Az egyértelmű és a minimális hibájú stratégia között létezik egy olyan összefüggés, amely a két módszer között mindig teljesül. Ez az összefüggés a következőképpen néz ki:

$$P_{\text{err}} \leq \frac{1}{2} Q^{\text{opt}}. \quad (2.61)$$

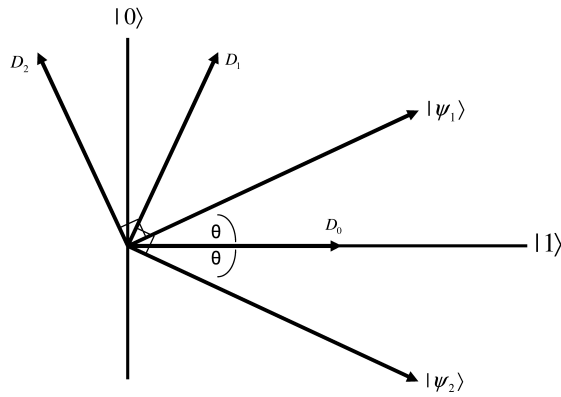
Ez az eredmény érvényes tiszta, illetve kevert állapotokra.



2.2. ábra. Egy Neumann-mérés, ami $|\psi_2\rangle$ -t egyértelműen megkülönbözteti.



2.3. ábra. Egy Neumann-mérés, ami $|\psi_1\rangle$ -et egyértelműen megkülönbözteti.



2.4. ábra. Optimális POVM, ami $|\psi_1\rangle$ -et és $|\psi_2\rangle$ -t is egyértelműen megkülönbözteti.

2.3. Maximális konfidenciájú módszer

Az egyértelmű megkülönböztetés akkor lehetséges, ha a lehetséges állapotok lineárisan függetlenek. A *maximális konfidenciájú stratégia* úgy tekinthető, mint az egyértelmű stratégia általánosítása olyan állapotokra, amik nem szükségszerűen lineárisan függetlenek. A $P(\hat{\varrho}_i|i)$ a *posteriori* valószínűséget nevezzük el C_i konfidenciának, amely annak a valószínűsége, hogy ϱ_i állapot esetén i kimenetet detektálunk, azaz a $P(i)$ detektor ad jelzést. A C_i konfidenciával azt a bizonyosságot mérjük, amellyel az i kimenetből a $\hat{\varrho}_i$ kezdeti állapotra következtethetünk. A maximális konfidenciájú módszer esetében ezt a mennyiséget maximalizáljuk.

A Bayes-tétel segítségével a konfidenciát olyan értékekkel fejezhetjük ki, amelyeket a felmerülő problémák során egyszerűen kiszámíthatunk. Így a feladat kezelhetővé válik. A Bayes-tétel szerint, ha az A és B események valószínűsége ismert, akkor

$$P(A|B) = \frac{P(B|A)P(A)}{P(B)},$$

ahol $P(B|A)$ az ún. feltételes valószínűség, $P(A)$ az A esemény *a priori* valószínűsége, $P(A|B)$ pedig az *a posteriori* valószínűség.

A Bayes-tétel felhasználásával a következő összefüggést kapjuk eredményül:

$$P(\hat{\varrho}_i|i)P(i) = P(i|\hat{\varrho}_i)P(\hat{\varrho}_i), \quad (2.62)$$

ahol $P(i) = \text{Tr}(\hat{\varrho}\hat{\Pi}_i)$ a teljes valószínűség, amit az i detektor jelez, és $\hat{\varrho} = \eta_1\hat{\varrho}_1 + \eta_2\hat{\varrho}_2$. Továbbá felhasználva, hogy $P(i|\hat{\varrho}_i) = \text{Tr}(\hat{\varrho}_i\hat{\Pi}_i)$ és $P(\hat{\varrho}_i) = \eta_i$, meghatároztuk a

$$C_i = P(\hat{\varrho}_i|i) = \frac{P(\hat{\varrho}_i)P(i|\hat{\varrho}_i)}{P(i)} = \frac{\eta_i \text{Tr}(\hat{\varrho}_i\hat{\Pi}_i)}{\text{Tr}(\hat{\varrho}\hat{\Pi}_i)} \quad (2.63)$$

konfidenciát [7, 11]. Itt a $\hat{\varrho} = \sum_i \eta_i \hat{\varrho}_i$ az ún. *a priori sűrűségoperátor*, $\hat{\Pi}_i$ pedig egy POVM eleme, amelyre igaz, hogy

$$\hat{\Pi}_i \geq 0, \quad \text{és} \quad \sum_i \hat{\Pi}_i = \hat{\mathbb{1}}. \quad (2.64)$$

Ezután pozitív operátorokat vezetünk be:

$$\bar{\Pi}_i = \hat{\varrho}^{1/2} \hat{\Pi}_i \hat{\varrho}^{1/2} \quad \text{és} \quad \bar{\varrho}_i = \eta_i \hat{\varrho}^{-1/2} \hat{\varrho}_i \hat{\varrho}^{-1/2}. \quad (2.65)$$

Fontos tudni, hogy a $\bar{\varrho}_i$ -re mindig fennáll az alábbi kapcsolat:

$$\bar{\varrho}_1 + \bar{\varrho}_2 = 1, \quad (2.66)$$

ezt felhasználva a konfidenciát felírhatjuk úgy, hogy

$$C_i = \frac{\text{Tr}(\bar{\varrho}_i \bar{\Pi}_i)}{\text{Tr}(\bar{\Pi}_i)}. \quad (2.67)$$

A számlálóban és a nevezőben is megjelenik $\bar{\bar{\Pi}}_i$, így az egyszerűség kedvéért definiálhatunk egy új változót, amely a következő alakban írhatjuk fel:

$$\frac{\bar{\bar{\Pi}}_i}{\text{Tr}(\bar{\bar{\Pi}}_i)} = \bar{\bar{\Pi}}_i, \quad (2.68)$$

ahol $\text{Tr}(\bar{\bar{\Pi}}_i) = 1$. Ekkor a konfidencia a következőképpen fog leegyszerűsödni:

$$C_i = \text{Tr}(\bar{\varrho}_i \bar{\bar{\Pi}}_i). \quad (2.69)$$

A (2.66) és (2.69) egyenletek a konfidencia optimalizálásának alapját képezik. Ha $\hat{\varrho}_1$ és $\hat{\varrho}_2$ együttesen kifeszítenek egy \mathcal{H}_d d -dimenziójú Hilbert-teret, akkor a (2.66) egyenlet jobb oldalán szereplő 1 érték a d -dimenziójú $\hat{\mathbb{1}}_d$ egységoperátort jelentené, továbbá, $\bar{\varrho}_1$ és $\bar{\varrho}_2$ pozitív operátorok, melyek a (2.66) összefüggés szerint spektrális reprezentációval rendelkeznek, azaz

$$\begin{aligned} \bar{\varrho}_1 &= \sum_{k=1}^d \lambda_k |k\rangle\langle k|, \\ \bar{\varrho}_2 &= \sum_{k=1}^d \mu_k |k\rangle\langle k|, \end{aligned} \quad (2.70)$$

ahol a sajátértékek degeneráltsága és a nulla sajátérték megengedett. Ekkor felírhatjuk, hogy $\sum_{k=1}^d |k\rangle\langle k| = \hat{\mathbb{1}}_d$, és a (2.66) egyenletből következik, hogy

$$\lambda_k + \mu_k = 1. \quad (2.71)$$

Ha a $\bar{\varrho}_1$ sajátértékeit csökkenő sorrendbe rendezzük, azaz $\lambda_1 \geq \lambda_2 \geq \dots \geq \lambda_d$, akkor $\mu_1 \leq \mu_2 \leq \dots \leq \mu_d$. A $\bar{\varrho}_1$ legnagyobb sajátértéke $\lambda_{max} = \lambda_1 = 1 - \mu_d$, és $\bar{\varrho}_2$ legnagyobb sajátértéke $\mu_{max} = \mu_d = 1 - \lambda_d$ lesz, és mindkét sajátérték degenerált lehet.

A következőkben a cél, meghatározni C_1^{max} és C_2^{max} maximális konfidenciákat két adott állapot megkülönböztetésére. Kibővíthetjük a $\bar{\bar{\Pi}}_i$ operátorokat a (2.70) alapján, ahol a két megkülönböztetett állapot diagonális. Ekkor egyértelműen a $\bar{\bar{\Pi}}_i$ off-diagonális elemei nem járulnak hozzá a konfidenciához a (2.69) egyenletben, és az általánosság elvesztése nélkül feltehetjük, hogy a diagonális alakok:

$$\bar{\bar{\Pi}}_1 = \sum_{k=1}^d a_k |k\rangle\langle k|, \quad \bar{\bar{\Pi}}_2 = \sum_{k=1}^d b_k |k\rangle\langle k|, \quad (2.72)$$

ahol a $\text{Tr}(\bar{\bar{\Pi}}_i) = 1$, és a $\bar{\bar{\Pi}}_i$ pozitivitásához a következő feltételek szükségesek:

$$\sum_{k=1}^d a_k = \sum_{k=1}^d b_k = 1, \quad a_k \geq 0, \quad b_k \geq 0. \quad (2.73)$$

A (2.72) egyenleteit behelyettesítve a (2.69) egyenletbe, azt kapjuk, hogy

$$C_1 = \sum_{k=1}^d a_k \lambda_k \leq \lambda_{max} \quad \text{és} \quad C_2 = \sum_{k=1}^d b_k \mu_k \leq \mu_{max}. \quad (2.74)$$

Tegyük fel, hogy λ_{max} és μ_{max} nem degeneráltak. Ekkor az

$$a_1 = b_d = 1 \quad \text{és} \quad a_{k>1} = b_{k<d} = 0$$

feltételek „telíteni fogják” a felső határt, így

$$\boxed{C_1^{max} = \lambda_{max}, \quad C_2^{max} = \mu_{max}}. \quad (2.75)$$

Ebben az esetben a $\bar{\bar{\Pi}}_i$ mérési operátor projektorok lesznek a maximális sajátértékekhez tartozó egy dimenziós sajátterben. Ha a maximális sajátértékek degeneráltak, akkor a mérési operátorok sűrűségoperátorok lesznek a maximális sajátértékekhez tartozó altérben. A (2.75) egyenlet érvényes marad függetlenül attól, hogy a maximális sajátértékek degeneráltak. A degeneráltság csak az optimális mérési operátorok valódi kifejezését befolyásolja. Ezek struktúrája az eredeti reprezentációban ezután

$$\hat{\Pi}_i = c_i \hat{\varrho}^{-1/2} \bar{\bar{\Pi}}_i \hat{\varrho}^{-1/2}, \quad (2.76)$$

ahol $c_i = \text{Tr}(\bar{\bar{\Pi}}_i)$ az ún. skálázási együttható, és $\sum_{i=1}^2 \hat{\Pi}_i \leq 1$.

Egy fontos kapcsolat van a maximális konfidenciájú és az egyértelmű stratégia között. Ha $\hat{\varrho}_1$ -t egyértelműen meg tudjuk különböztetni, akkor $C_i = 1$ lesz, ami azt jelenti, hogy $\lambda_{max} = 1 - \mu_{min} = 1$ vagy $\mu_{min} = 0$. Ez azt feltételezi, hogy $\text{Rk}(\hat{\varrho}_2) < d = \text{Rk}(\hat{\varrho})$, ahol $\hat{\varrho} = \eta_1 \hat{\varrho}_1 + \eta_2 \hat{\varrho}_2$. Hasonló megfontolások igazak $\hat{\varrho}_2$ -re is. A maximális konfidenciájú stratégia az egyértelmű stratégia általánosításának tekinthető.

Ebben a fejezetben megvizsgáltuk a maximális konfidenciájú stratégiát két bemenő állapotra. Ezzel egyszerű tetszőleges számú állapotot kezelni, melynek általános formuláját a stratégia eredeti kidolgozásában vezették be [11], ahol a három szimmetrikus qubit állapotának az esetét vizsgálták meg explicit módon, ami a Bloch-gömb ugyanazon szélességi körén fekszik. Bár ezt a stratégiát csak a közelmúltban fejlesztették ki, ennek ellenére néhány speciális esetet már meg is oldottak, mint például a „Maximális konfidenciájú módszer kísérleti megvalósítása a kvantuminformáció kinyerése szempontjából” [23], és a „Maximális konfidenciájú módszer szimmetrikus qudit állapotok között” [24]. Ennek a stratégiának a rugalmassága, és hatékonysága révén szerencsére kísérletileg is megvalósítható, így biztosítva egy „vonzó” alternatívát a korábban megismert stratégiákkal szemben.

3. fejezet

A Helstrom-formula levezetése

Ebben a fejezetben a Helstrom-formulát vezetem le analitikusan, felhasználva a fontosabb összefüggéseket, amik a formulához szükségesek. A levezetés saját munkának tekinthető, mivel a cikkek nem tartalmazzák a részletes számításokat, csak a végeredményeket közlik.

Emlékeztetőül, a minimális hibájú stratégiában a mérés során annak a valószínűsége, hogy hibás eredményt kapunk (P_{err}), a következő összefüggéssel határozható meg:

$$P_{\text{err}} = 1 - P_{\text{corr}} = 1 - \sum_{j=1}^N \eta_j \text{Tr}(\hat{\rho}_j \hat{\Pi}_j), \quad (3.1)$$

ahol N a kvantumrendszer állapotainak száma, $\sum_j \eta_j = 1$, $\sum_j \hat{\Pi}_j = \hat{1}_{D_S}$, D_S pedig a kvantumrendszer dimenziója. Ebből az egyenletből fogunk kiindulni, és vizsgálni fogjuk $N = 2$ esetben. Ekkor a következő összefüggések szükségesek:

$$\eta_1 + \eta_2 = 1, \quad (3.2)$$

$$\hat{\Pi}_1 + \hat{\Pi}_2 = \hat{I}_{D_S}. \quad (3.3)$$

Először is $N = 2$ -t behelyettesítjük, így a P_{err} valószínűség:

$$P_{\text{err}} = 1 - \eta_1 \text{Tr}(\hat{\rho}_1 \hat{\Pi}_1) - \eta_2 \text{Tr}(\hat{\rho}_2 \hat{\Pi}_2). \quad (3.4)$$

Ezután behelyettesítjük a (3.2) kapcsolatot:

$$P_{\text{err}} = \eta_1 + \eta_2 - \eta_1 \text{Tr}(\hat{\rho}_1 \hat{\Pi}_1) - \eta_2 \text{Tr}(\hat{\rho}_2 \hat{\Pi}_2). \quad (3.5)$$

Fejezzük ki a (3.3) kapcsolatból $\hat{\Pi}_1$ -et és $\hat{\Pi}_2$ -t:

$$\hat{\Pi}_1 + \hat{\Pi}_2 = \hat{I}_{D_S} \Rightarrow \begin{cases} \hat{\Pi}_1 = \hat{I}_{D_S} - \hat{\Pi}_2 \\ \hat{\Pi}_2 = \hat{I}_{D_S} - \hat{\Pi}_1 \end{cases}. \quad (3.6)$$

Most ezeket fogjuk behelyettesíteni P_{err} egyenletbe:

$$\begin{aligned} P_{\text{err}} &= \eta_1 + \eta_2 - \eta_1 \text{Tr}(\hat{\rho}_1 \hat{\Pi}_1) - \eta_2 \text{Tr}(\hat{\rho}_2 \hat{\Pi}_2) = \\ &= \eta_1 + \eta_2 - \eta_1 \text{Tr}(\hat{\rho}_1 [\hat{I}_{D_S} - \hat{\Pi}_2]) - \eta_2 \text{Tr}(\hat{\rho}_2 [\hat{I}_{D_S} - \hat{\Pi}_1]) = \\ &= \eta_1 + \eta_2 - \eta_1 \text{Tr}(\hat{\rho}_1 \hat{I}_{D_S} - \hat{\rho}_1 \hat{\Pi}_2) - \eta_2 \text{Tr}(\hat{\rho}_2 \hat{I}_{D_S} - \hat{\rho}_2 \hat{\Pi}_1). \end{aligned}$$

Itt felhasználjuk a

$$\text{Tr}(A + B) = \text{Tr}(A) + \text{Tr}(B) \quad (3.7)$$

tulajdonságot, így az egyenlet a következő alakú lesz:

$$P_{\text{err}} = \eta_1 + \eta_2 - \eta_1 [\text{Tr}(\hat{\rho}_1 \hat{I}_{D_S}) - \text{Tr}(\hat{\rho}_1 \hat{\Pi}_2)] - \eta_2 [\text{Tr}(\hat{\rho}_2 \hat{I}_{D_S}) - \text{Tr}(\hat{\rho}_2 \hat{\Pi}_1)].$$

Tekintsük $\hat{\rho}_1$ -et és $\hat{\rho}_2$ -t tiszta állapotoknak. Ez azt jelenti, hogy $\text{Tr}(\hat{\rho}_1) = 1$ és $\text{Tr}(\hat{\rho}_2) = 1$. Ezt felhasználva, az egyenlet a következőképpen fog alakulni:

$$\begin{aligned} P_{\text{err}} &= \eta_1 + \eta_2 - \eta_1 [1 - \text{Tr}(\hat{\rho}_1 \hat{\Pi}_2)] - \eta_2 [1 - \text{Tr}(\hat{\rho}_2 \hat{\Pi}_1)] = \\ &= \eta_1 + \eta_2 - \eta_1 + \eta_1 \text{Tr}(\hat{\rho}_1 \hat{\Pi}_2) - \eta_2 + \eta_2 \text{Tr}(\hat{\rho}_2 \hat{\Pi}_1) = \\ &= \eta_1 \text{Tr}(\hat{\rho}_1 \hat{\Pi}_2) + \eta_2 \text{Tr}(\hat{\rho}_2 \hat{\Pi}_1). \end{aligned}$$

Tehát meghatároztuk a (2.11) egyenletet, azaz

$$P_{\text{err}} = 1 - \sum_{j=1}^N \eta_j \text{Tr}(\hat{\rho}_j \hat{\Pi}_j) = \eta_1 \text{Tr}(\hat{\rho}_1 \hat{\Pi}_2) + \eta_2 \text{Tr}(\hat{\rho}_2 \hat{\Pi}_1). \quad (3.8)$$

A következőkben ezt az egyenlet fogjuk átalakítani alternatív kifejezésekre, ehhez ismét a (3.2) és (3.3) összefüggéseket fogjuk segítségül venni. A (3.8) egyenletet két részre fogjuk bontani. Először kifejezzük $\hat{\Pi}_1$ -re, majd $\hat{\Pi}_2$ -re. Ehhez ismét a (3.6)-t kell segítségül venni.

P_{err} valószínűség alternatív kifejezése $\hat{\Pi}_1$ -re

Először is $\hat{\Pi}_2$ kifejezését fogjuk behelyettesíteni a P_{err} egyenletébe, így ezt az egyenletet a következőképpen írhatjuk fel:

$$\begin{aligned} P_{\text{err}} &= \eta_1 \text{Tr}(\hat{\rho}_1 \hat{\Pi}_2) + \eta_2 \text{Tr}(\hat{\rho}_2 \hat{\Pi}_1) = \eta_1 \text{Tr}(\hat{\rho}_1 [\hat{I}_{D_S} - \hat{\Pi}_1]) + \eta_2 \text{Tr}(\hat{\rho}_2 \hat{\Pi}_1) = \\ &= \eta_1 \text{Tr}(\hat{\rho}_1 \hat{I}_{D_S} - \hat{\rho}_1 \hat{\Pi}_1) + \eta_2 \text{Tr}(\hat{\rho}_2 \hat{\Pi}_1) = \\ &= \eta_1 [\text{Tr}(\hat{\rho}_1 \hat{I}_{D_S}) - \text{Tr}(\hat{\rho}_1 \hat{\Pi}_1)] + \eta_2 \text{Tr}(\hat{\rho}_2 \hat{\Pi}_1) = \\ &= \eta_1 [1 - \text{Tr}(\hat{\rho}_1 \hat{\Pi}_1)] + \eta_2 \text{Tr}(\hat{\rho}_2 \hat{\Pi}_1) = \eta_1 - \eta_1 \text{Tr}(\hat{\rho}_1 \hat{\Pi}_1) + \eta_2 \text{Tr}(\hat{\rho}_2 \hat{\Pi}_1) = \\ &= \eta_1 + \text{Tr}(-\eta_1 \hat{\rho}_1 \hat{\Pi}_1) + \text{Tr}(\eta_2 \hat{\rho}_2 \hat{\Pi}_1) = \eta_1 + \text{Tr}(-\eta_1 \hat{\rho}_1 \hat{\Pi}_1 + \eta_2 \hat{\rho}_2 \hat{\Pi}_1) = \\ &= \eta_1 + \text{Tr}([\eta_2 \hat{\rho}_2 - \eta_1 \hat{\rho}_1] \hat{\Pi}_1). \end{aligned}$$

Itt bevezetjük a $\hat{\Lambda}$ hermitikus operátort:

$$\hat{\Lambda} = \eta_2 \hat{\rho}_2 - \eta_1 \hat{\rho}_1 = \sum_{k=1}^{D_S} \lambda_k |\phi_k\rangle \langle \phi_k|. \quad (3.9)$$

A jobb oldali kifejezés a hermitikus operátor projektor felbontását jelöli. Így a P_{err} valószínűsége $\hat{\Pi}_1$ -re vonatkozóan:

$$P_{\text{err}} = \eta_1 + \text{Tr}(\hat{\Lambda} \hat{\Pi}_1). \quad (3.10)$$

P_{err} valószínűség alternatív kifejezése $\hat{\Pi}_2$ -re

Most $\hat{\Pi}_1$ kifejezését helyettesítjük be a P_{err} egyenletébe:

$$\begin{aligned}
 P_{\text{err}} &= \eta_1 \text{Tr}(\hat{\varrho}_1 \hat{\Pi}_2) + \eta_2 \text{Tr}(\hat{\varrho}_2 \hat{\Pi}_1) = \eta_1 \text{Tr}(\hat{\varrho}_1 \hat{\Pi}_2) + \eta_2 \text{Tr}(\hat{\varrho}_2 [\hat{I}_{D_S} - \hat{\Pi}_2]) = \\
 &= \eta_1 \text{Tr}(\hat{\varrho}_1 \hat{\Pi}_2) + \eta_2 \text{Tr}(\hat{\varrho}_2 \hat{I}_{D_S} - \hat{\varrho}_2 \hat{\Pi}_2) = \\
 &= \eta_1 \text{Tr}(\hat{\varrho}_1 \hat{\Pi}_2) + \eta_2 [\text{Tr}(\hat{\varrho}_2 \hat{I}_{D_S}) - \text{Tr}(\hat{\varrho}_2 \hat{\Pi}_2)] = \\
 &= \eta_1 \text{Tr}(\hat{\varrho}_1 \hat{\Pi}_2) + \eta_2 [1 - \text{Tr}(\hat{\varrho}_2 \hat{\Pi}_2)] = \eta_1 \text{Tr}(\hat{\varrho}_1 \hat{\Pi}_2) + \eta_2 - \eta_2 \text{Tr}(\hat{\varrho}_2 \hat{\Pi}_2) = \\
 &= \eta_2 + \text{Tr}(\eta_1 \hat{\varrho}_1 \hat{\Pi}_2) + \text{Tr}(-\eta_2 \hat{\varrho}_2 \hat{\Pi}_2) = \eta_2 - \text{Tr}(\eta_2 \hat{\varrho}_2 \hat{\Pi}_2 - \eta_1 \hat{\varrho}_1 \hat{\Pi}_2) = \\
 &= \eta_2 - \text{Tr}([\eta_2 \hat{\varrho}_2 - \eta_1 \hat{\varrho}_1] \hat{\Pi}_2) = \eta_2 - \text{Tr}(\hat{\Lambda} \hat{\Pi}_2).
 \end{aligned}$$

Így hasonló formalizmust írhatunk fel P_{err} valószínűségére $\hat{\Pi}_2$ -re vonatkozóan:

$$P_{\text{err}} = \eta_2 - \text{Tr}(\hat{\Lambda} \hat{\Pi}_2). \quad (3.11)$$

A kapott egyenleteket összevetve megkapjuk a (2.12) egyenletet:

$$P_{\text{err}} = \eta_1 + \text{Tr}(\hat{\Lambda} \hat{\Pi}_1) = \eta_2 - \text{Tr}(\hat{\Lambda} \hat{\Pi}_2). \quad (3.12)$$

A $\hat{\Lambda}$ operátor spektrális reprezentációja

A következőkben a $\hat{\Lambda}$ operátor spektrális felbontását fogjuk felírni. Tegyük fel, hogy

$$\text{Tr}(\hat{\Lambda} \hat{\Pi}_m) = \sum_{k=1}^{D_S} \lambda_k \langle \phi_k | \hat{\Pi}_m | \phi_k \rangle = \langle \hat{\Pi}_m \rangle, \quad (3.13)$$

azaz megfelel a $\hat{\Pi}_m$ mérési operátor átlagértékével.

Bizonyítás:

$$\begin{aligned}
 \langle \hat{\Pi}_m \rangle &= \sum_k \lambda_k \langle \phi_k | \hat{\Pi}_m | \phi_k \rangle = \sum_k \lambda_k \langle \phi_k | \hat{\Pi}_m \hat{I} | \phi_k \rangle = \\
 &= \sum_l \sum_k \lambda_k \langle \phi_k | \hat{\Pi}_m | a_l \rangle \langle a_l | \phi_k \rangle = \sum_l \sum_k \langle a_l | \phi_k \rangle \lambda_k \langle \phi_k | \hat{\Pi}_m | a_l \rangle = \\
 &= \sum_l \langle a_l | \hat{\Lambda} \hat{\Pi}_m | a_l \rangle = \text{Tr}(\hat{\Lambda} \hat{\Pi}_m) \quad \checkmark
 \end{aligned}$$

Ezt az összefüggést felhasználva megkapjuk a (2.14) egyenletet:

$$P_{\text{err}} = \eta_1 + \sum_{k=1}^{D_S} \lambda_k \langle \phi_k | \hat{\Pi}_1 | \phi_k \rangle = \eta_2 - \sum_{k=1}^{D_S} \lambda_k \langle \phi_k | \hat{\Pi}_2 | \phi_k \rangle. \quad (3.14)$$

A $\hat{\Pi}_1$ és $\hat{\Pi}_2$ meghatározásához szükség lesz az alábbi megfontolásokra:

$$\begin{aligned}
 \lambda_k &< 0 & \text{ha} & \quad 1 \leq k < k_0, \\
 \lambda_k &> 0 & \text{ha} & \quad k_0 \leq k \leq D, \quad (\text{ahol } D \leq D_S) \\
 \lambda_k &= 0 & \text{ha} & \quad D < k \leq D_S.
 \end{aligned}$$

Emlékeztetőül, amennyiben vannak pozitív és negatív sajátértékek a Λ operátor spektrális felbontásában, akkor a minimális hibájú mérést egy Neumann-mérésnek lehet tekinteni, és a meghatározandó operátorok egyrészt $\{|\phi_1\rangle, \dots, |\phi_{k_0-1}\rangle\}$, másrészt $\{|\phi_{k_0}\rangle, \dots, |\phi_{D_S}\rangle\}$ állapothalmazokra kifeszített két ortogonális altérre vetített projekciókból állnak. Ezek után a két operátort felírhatjuk a következő módon:

$$\begin{aligned}\hat{\Pi}_1 &= \sum_{k=1}^{k_0-1} |\phi_k\rangle\langle\phi_k| \quad (\lambda_k < 0) \\ \hat{\Pi}_2 &= \sum_{k=k_0}^D |\phi_k\rangle\langle\phi_k| \quad (\lambda_k > 0).\end{aligned}\tag{3.15}$$

Ezeket behelyettesítve a (3.14) egyenletbe:

$$P_{\text{err}} = \eta_1 + \sum_{k=1}^{D_S} \sum_{k=1}^{k_0-1} \lambda_k \langle\phi_k|\phi_k\rangle\langle\phi_k|\phi_k\rangle = \eta_2 - \sum_{k=1}^{D_S} \sum_{k=k_0}^D \lambda_k \langle\phi_k|\phi_k\rangle\langle\phi_k|\phi_k\rangle,\tag{3.16}$$

ahol $\langle\phi_k|\phi_k\rangle = 1$. Ekkor az egyenlet tovább egyszerűsödik, azaz:

$$P_{\text{err}} = \eta_1 + \sum_{k=1}^{D_S} \sum_{k=1}^{k_0-1} |\lambda_k| = \eta_2 - \sum_{k=1}^{D_S} \sum_{k=k_0}^D |\lambda_k|.\tag{3.17}$$

$\lambda_k > 0$ esetén $k_0 \leq k \leq D$, ahol $k = 1$, így $k_0 - 1 \leq D$ és $D \leq D_S$.

$\lambda_k < 0$ esetén pedig $1 \leq k < k_0$, így $k < k_0$ és $D \leq D_S$.

Ezután az egyenlet a következő alakú lesz:

$$P_{\text{err}} = \eta_1 - \sum_{k=1}^{k_0-1} |\lambda_k| = \eta_2 - \sum_{k=k_0}^D |\lambda_k|,\tag{3.18}$$

ezzel pedig megkaptuk a (2.17) egyenletet.

Mivel a két szummázást egyenlőnek tekinthetjük, így az egyenlet jobb oldalát megszorozzuk egy $\frac{1}{2}$ -es faktorial. Így az egyenlet a következőképpen fog leegyszerűsödni:

$$P_{\text{err}} = \frac{1}{2} - \frac{1}{2} \sum_k |\lambda_k| = \frac{1}{2} \left(1 - \sum_k |\lambda_k| \right),\tag{3.19}$$

ahol λ_k a $\hat{\Lambda}$ operátor sajátértékei, melynek összege megegyezik az operátor nyomával, azaz

$$\sum_k \lambda_k = \text{Tr}(\hat{\Lambda}) = \text{Tr}(\eta_2 \hat{\rho}_2 - \eta_1 \hat{\rho}_1).\tag{3.20}$$

Ezt felhasználva:

$$\boxed{P_{\text{err}} = \frac{1}{2} (1 - \text{Tr}(|\eta_2 \hat{\rho}_2 - \eta_1 \hat{\rho}_1|)) = \frac{1}{2} (1 - \|\eta_2 \hat{\rho}_2 - \eta_1 \hat{\rho}_1\|)}.\tag{3.21}$$

Azaz megkaptuk a **Helstrom-formula** alakját, amely a $\hat{\rho}_1$ és $\hat{\rho}_2$ minimális hibájú megkülönböztetésének valószínűségét határozza meg.

Irodalomjegyzék

- [1] NAGY ALEXANDRA: *A kvantummechanikai mérésekből nyerhető információ* (Pécsi Tudományegyetem - Fizikai Intézet, 2012)
- [2] M.A. NIELSEN, I.L. CHUANG: *Quantum Computation and Quantum Information* (Cambridge University Press, United Kingdom, 2000), pp. 84-90.
- [3] J.A. BERGOU, U. HERZOG, M. HILLERY, Discrimination of Quantum States, Lect. Notes Phys. **649** (2004), pp. 417-465.
- [4] C.W. HELSTROM: *Quantum Detection and Estimation Theory* (Academic Press, New York, 1976).
- [5] A.S. HOLEVO: *Probabilistic and Statistical Aspects of Quantum Theory* (North-Holland, Amsterdam, 1982).
- [6] C. BENNETT, Phys. Rev. Lett. **68** (1992), pp. 3121-3124.
- [7] J.A. BERGOU, Discrimination of Quantum States: A Tutorial Review, accepted to special issue of Journal of Modern Optics: „*States & process discrimination*” (2009).
- [8] I.D. IVANOVIC, Phys. Lett. A **123**, 257 (1987).
- [9] D. DIEKS, Phys. Lett. A **126**, 303 (1988).
- [10] A. PERES, Phys. Lett. A **128**, 19 (1988).
- [11] S. CROKE, E. ANDERSSON, S.M. BARNETT, C.R. GILSON, J. JEFFERS, Phys. Rev. Lett. **96**, 070401 (2006).
- [12] U. HERZOG, J.A. BERGOU, Phys. Rev. A **70**, 022302 (2004).
- [13] U. HERZOG, J. Opt. B: Quantum Semiclass. Opt **6**, 24 (2004).
- [14] Y.C. ELДАР, A. MEGRETSKI, G. C. VERGHESE, "Designing Optimal Quantum Detectors Via Semidefinite Programming", IEEE Trans. Inform. Theory, vol. **49**, pp. 1012-1017, (Apr. 2003).
- [15] C.L. CHOU, L.Y. HSU, Phys. Rev. A **68**, 042305 (2003).
- [16] S. M. BARNETT, Phys. Rev. A **64**, 030303(R) (2001).

-
- [17] E. ANDERSSON, S.M. BARNETT, C. GILSON, K. HUNTER, Phys. Rev. A **65**, 052308 (2002).
 - [18] M. JEŽEK, J. ŘEHÁČEK, J. FIURÁŠEK, Phys. Rev. A **65**, 060301 (2002).
 - [19] A. CHEFLES, Phys. Lett. A **239** (1998), pp. 339-347.
 - [20] T. RUDOLPH, R.W. SPEKKENS, P.S. TURNER, Phys. Rev. A **68**, 010301(R) (2003).
 - [21] Y. FENG, R. DUAN, M. YING, Phys. Rev. A **70**, 012308 (2004).
 - [22] C. ZHANG, Y. FENG, M.S. YING, Phys. Lett. A **353**, 300-306 (2006).
 - [23] P.J. MOSLEY, S. CROKE, I.A. WALMSLEY, S.M. BARNETT, Phys. Rev. Lett. **97**, 193601 (2006).
 - [24] O. JIMÉNEZ, M. SOLÍS-PROSSER, A. DELGADO, L. NEVES, Phys. Rev. A **84**, 062315 (2011).